

ห้องสมุดงานวิจัย สำนักงานคณะกรรมการวิจัยแห่งชาติ



E47282

ໄສໄລກຈົນພັນນະເຕເບີນຄວາມໂຄສອນໃຫ້ໂຄຍກັນຮ່ວມມືນວິດທຸນປະເປດຂອບ
ອະຊຸມືນາທີ່ລົກາ

ພາಠເກາະສົມຄວຣາມ ເຫດຖານຸຮັກ໌

ໃຫຍ້ນີ້ແມ່ນເປັນສ່ວນໜີ້ຂອງການທຶນທາພໍລົງສູ່ທະປະລຸງຢູ່ໄວ້ກາງການຄາດຫານ້ຳຕີ້ທີ່
ສາຍາວິຊາວິກາරແພດນີ້ ກາລົວິຊາວິກາրແພດນີ້
ຄມະວິກາරແພດນີ້ ຈຸ່າເຊັກແພດນີ້ພາວິຫຍາດ້ນ
ປີດາວັດທີ່ 2553
ລົງທຶນຂອງຈຸດຕາລົກຄ່້ມພາວິຫຍາດ້ນ

600254224



E47282

ไฮโดรเจนชันของคาร์บอนไคออกไซด์โดยตัวร่างปฏิกิริยาโคมอลต์บนวัสดุเชิงประกลบ
อะลูมินาซิคลิกา



นางสาว ชุมดาวรรณ เจริญรักษ์

วิทยานิพนธ์นี้เป็นส่วนหนึ่งของการศึกษาด้านหลักสูตรปริญญาวิศวกรรมศาสตรมหาบัณฑิต
สาขาวิชาวิศวกรรมเคมี ภาควิชาวิศวกรรมเคมี
คณะวิศวกรรมศาสตร์ จุฬาลงกรณ์มหาวิทยาลัย
ปีการศึกษา 2553
ลิขสิทธิ์ของจุฬาลงกรณ์มหาวิทยาลัย



5 2 7 1 4 8 5 0 2 1

CARBON DIOXIDE HYDROGENATION OVER ALUMINA-SILICA
COMPOSITES-SUPPORTED COBALT CATALYST

Miss Thamonwan Jetsadanurak

A Thesis Submitted in Partial Fulfillment of the Requirements
for the Degree of Master of Engineering Program in Chemical Engineering
Department of Chemical Engineering
Faculty of Engineering
Chulalongkorn University
Academic Year 2010
Copyright of Chulalongkorn University

Thesis Title CARBON DIOXIDE HYDROGENATION OVER ALUMINA-SILICA
 COMPOSITES-SUPPORTED COBALT CATALYST

By Miss Thamonwan Jetsadanurak

Field of Study Chemical Engineering

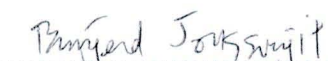
Thesis Advisor Associate Professor Bunjerd Jongsomjit, Ph.D.

Accepted by the Faculty of Engineering, Chulalongkorn University in Partial
Fulfillment of the Requirements for the Master's Degree

 Dean of the Faculty of Engineering
(Associate Professor Boonsom Lerdhirunwong, Dr.Ing.)

THESIS COMMITTEE

 Chairman
(Assistant Professor Anongnat Somwangthanaroj, Ph.D.)

 Thesis Advisor
(Associate Professor Bunjerd Jongsomjit, Ph.D.)

 Examiner
(Assistant Professor Joongjai Panpranot, Ph.D.)

 External Examiner
(Assistant Professor Okorn Mekasuwandamrong, Ph.D.)

ชมลารรตน เจษฎาบุรพกษ์ : ไฮโดรเจนชันของคาร์บอนไดออกไซด์โดยตัวเร่งปฏิกิริยา
โคลบัตต์บนวัสดุเชิงประกลงอะลูมีนาซิลิค้า (CARBON DIOXIDE HYDRO
GENATION OVER ALUMINA-SILICA COMPOSITES-SUPPORTED
COBALT CATALYST) อ.ที่ปรึกษาวิทยานิพนธ์หลัก: รศ. ดร. บรรจงสมจิต, ๘๘
หน้า

E 47282

งานวิจัยนี้ได้ศึกษาคุณลักษณะของตัวรองรับวัสดุเชิงประกลงอะลูมีนาซิลิค้าที่ถูกปรับปรุง
ด้วยการเคลือบฟิล์มของอนุภาคอะลูมีนาบนพื้นผิวด้วยชิลิกาทรงกลม โดยใช้ปฏิกิริยาไฮโดรเจนชันของ
อะลูมิเนียมไอโซไโพพรอคไซด์ โดยการเปลี่ยนปริมาณอะลูมีนาบนชิลิกา หรือ AISSP รวมทั้งการ
เผาไฟใหม่ในอุณหภูมิ 650 และ 1000 องศาเซลเซียส นอกจากนี้ศึกษาคุณลักษณะของตัวเร่ง
ปฏิกิริยาโคลบัตต์บนชิลิกาหรือ CoSSP และวัสดุเชิงประกลงอะลูมีนาซิลิค้าหรือ CoAISSP รวมทั้ง
ศึกษาความว่องไวและค่าการเลือกเกิดมีเทนของตัวเร่งปฏิกิริยาโคลบัตต์บนชิลิกาหรือ CoSSP และ
วัสดุเชิงประกลงอะลูมีนาซิลิกาหรือ CoAISSP สำหรับปฏิกิริยาคาร์บอนไดออกไซด์ไฮโดรเจนชัน
ที่อุณหภูมิของปฏิกิริยา 220 องศาเซลเซียส ตัวอย่างทั้งหมดถูกตรวจสอบคุณลักษณะโดยใช้การดูด¹³
ซับทางการภาพด้วยในโทรศัพท์ การกระเจิงรังสีเอกซ์ การวิเคราะห์เชิงความร้อน การส่องผ่านด้วย
กล้องจุลทรรศน์อิเล็กตรอน การวัดการกระจายตัวของโลหะ การส่องการด้วยกล้องจุลทรรศน์
อิเล็กตรอน การวัดคักษณแบบโปรแกรมอุณหภูมิและการดูดซับด้วยคาร์บอนอนออกไซด์ ผล
การศึกษาพบความเสถียรภาพทางความร้อนดีขึ้นเมื่อเดินอะลูมีนาบนชิลิกา อีกทั้งการเพิ่มปริมาณ
อะลูมีนาที่ผลให้ขนาดของโครงสร้างผลึกใหญ่ขึ้นเมื่อเปลี่ยนปริมาณอะลูมีนาบนชิลิกา ยิ่งกว่านั้น¹
การกระจายตัวของอนุภาคอะลูมีนาบนพื้นผิวด้วยชิลิกามีลักษณะดี และพบว่าอะลูมีนาช่วยขัดขวาง
การเกิดชนวน เช่น เมื่อเผาไฟใหม่ในอุณหภูมิสูง นอกจากนี้ความสามารถในการรีดิวเซชันของ
ตัวเร่งปฏิกิริยาโคลบัตต์ค่อนข้างลดลงบนตัวรองรับชนิดวัสดุเชิงประกลงอะลูมีนาซิลิค้า สำหรับผล
การศึกษาปฏิกิริยาคาร์บอนไดออกไซด์ไฮโดรเจนชัน พนบฯ ร้อยละการเปลี่ยนแปลงสูงสุดและค่า²
การเลือกเกิดมีเทนของตัวเร่งปฏิกิริยาโคลบัตต์บนวัสดุเชิงประกลงอะลูมีนาซิลิกา คือ 26.12
เมอร์เซนต์ และ 94.02 เมอร์เซนต์ ตามลำดับ ที่อุณหภูมิของปฏิกิริยา 220 องศาเซลเซียส

ภาควิชา.....	วิศวกรรมเคมี.....	ลายมือชื่อนักศึกษา.....	ช.ล. นิติกร ลิ้มรัตน์ ใจกลางไทย
สาขาวิชา.....	วิศวกรรมเคมี.....	ลายมือชื่อ อ.ที่ปรึกษาวิทยานิพนธ์หลัก.....	ล.ส. ดร. บรรจงสมจิต
ปีการศึกษา.....	2553.....		

##5271485021: MAJOR CHEMICAL ENGINEERING

KEYWORDS: ALUMINA SILICA COMPOSITES/ COBALT CATALYST/
CARBON DIOXIDE HYDROGENATION

THAMONWAN JETSADANURAK: CARBON DIOXIDE
HYDROGENATION OVER ALUMINA-SILICA COMPOSITES-
SUPPORTED COBALT CATALYST. THESIS ADVISOR: ASSOC. PROF.
BUNJERD JONGSOMJIT, Ph.D., 88 pp.

E47282

This research focused on investigation of characteristics of the $\text{Al}_2\text{O}_3\text{-SiO}_2$ composite supports that were prepared by deposition of Al_2O_3 particles on the spherical silica particle (SSP) surface using hydrolysis of aluminium isopropoxide with loading variation of Al_2O_3 onto SiO_2 to obtain AlISSP with calcination temperature at 650 and 1000 °C. Furthermore, the characteristics of the impregnated cobalt on spherical silica particle support (CoSSP) and alumina-silica composite support (CoAlISSP) were investigated. In addition, the catalytic activity and selectivity to methane of CoSSP and all of CoAlISSP samples for carbon dioxide hydrogenation with reaction temperature at 220°C was also investigated. All samples were characterized by BET surface area, XRD, DTA/TG, EDX, SEM, TEM, TPR, and CO chemisorptions methods. It was found that thermal stability of alumina can be enhanced with adding to silica. Besides, at various compositions of alumina-silica, increased amount of alumina exhibited a larger crystalline size of alumina. Moreover, the alumina distribution on the silica surface was good. In addition, at high calcination temperature, it was found that sintering effect was impeded by alumina addition. Furthermore, the reducibilities of cobalt supported on $\text{Al}_2\text{O}_3\text{-SiO}_2$ composites catalysts were slightly decreased. Based on the CO_2 hydrogenation reaction results, the CO_2 conversion and selectivity to methane of the cobalt supported on $\text{Al}_2\text{O}_3\text{-SiO}_2$ composite are 26.12% and 94.02%, respectively upon the reaction temperature at 220°C.

Department :Chemical Engineering.... Student's Signature...Thamonwan J.

Field of Study : ...Chemical Engineering.... Advisor's Signature...Bunjerd Tongjunt

Academic Year :2010.....

ACKNOWLEDGEMENTS

The author would like to express her greatest gratitude and appreciation to her advisor, Assoc. Prof. Dr. Bunjerd Jongsomjit for his invaluable guidance, providing value suggestions and his kind supervision throughout this study. In addition, she is also grateful to Assistant Professor Anongnat Somwangthanaroj, as the chairman, Assistant Professor Joongjai Panpranot and Assistant Professor Okorn Mekasuwandamrong as the members of the thesis committee. The author would like to thank the Thailand Research Fund (TRF).

Many thanks for kind suggestions and useful help to Mr. Jakrapan Janlamool, Mr. Benjapol Nitijalornwong, and many friends in the laboratory who always provide the encouragement and co-operate along the thesis study.

Most of all, the author would like to express her highest gratitude to her parents who always pay attention to her all the times for suggestions, support and encouragement.

CONTENTS

	Page
ABSTRACT (IN THAI).....	iv
ABSTRACT (IN ENGLISH).....	v
ACKNOWLEDGEMENTS.....	vi
CONTENTS.....	vii
LIST OF TABLES.....	x
LIST OF FIGURES.....	xi
CHAPTER	
I INTRODUCTION.....	1
II LITERATER REVIEWS.....	5
2.1 The silica supported metals.....	5
2.2 The alumina-silica composites supported metals.....	6
2.3 The supported metal catalysts in CO and CO ₂ hydrogenation system.....	8
III THEORY.....	11
3.1 CO ₂ Hydrogenation Reactions.....	11
3.2 Silicon dioxide	12
3.3 Alumina.....	16
3.4 Cobalt.....	20
3.4.1 General.....	20
3.4.2 Physical properties.....	21
IV EXPERIMANTAL.....	24
4.1 Research Methodology.....	24
4.2 Catalyst preparation.....	26
4.2.1 Chemicals.....	26
4.2.2 Preparation of the spherical silica particle (SSP).....	26
4.2.3 Preparation of the Al ₂ O ₃ -SiO ₂ composites supports.....	26

CHAPTER	Page
4.2.4 Cobalt Loading.....	27
4.2.5 Catalysts Nomenclature.....	27
4.3 Catalyst characterization.....	28
4.3.1 X-ray diffraction (XRD).....	28
4.3.2 N ₂ physisorption	28
4.3.3 Scanning electron microscopy(SEM) and energy dispersive X-ray spectroscopy (EDX).....	29
4.3.4 Transmission electron microscope (TEM).....	29
4.3.5 Temperature-programmed reduction (TPR).....	29
4.3.6 Thermogravimetry analysis (TGA).....	29
4.3.7 Carbon monoxide chemisorptions.....	30
4.4 Reaction study in CO ₂ hydrogenation.....	30
4.4.1 Material.....	30
4.4.2 Apparatus.....	30
4.4.3 Procedures.....	34
V RESULTS AND DISCUSSION	35
5.1 Support preparation and characterization.....	35
5.1.1 Preparation of spherical silica particle (SSP).....	35
5.1.2 Preparation and characterization of alumina-spherical silica particles composites supports (AlSSP).....	37
5.2 Preparation and characterization of spherical silica (SSP) and alumina-spherical silica composites (AlSSP) supported cobalt catalyst.....	43
VI CONCLUSIONS AND RECOMMENDATIONS.....	64
6.1 Conclusions.....	64
6.2 Recommendations.....	65

	Page
REFERENCES.....	66
APPENDICES.....	69
APPENDIX A: CALCULATION FOR CATALYST PREPARATION.....	70
APPENDIX B: CALCULATION FOR TOTAL CO CHEMISORPTION AND DISPERSION.....	72
APPENDIX C: CALCULATION FOR REDUCIBILITY.....	73
APPENDIX D: CALIBRATION CURVES	75
APPENDIX E: CALCULATION OF CO ₂ CONVERSION, REACTION RATE AND SELECTIVITY.....	80
APPENDIX F: PORE SIZE DISTRIBUTION CURVES.....	81
VITA	88

LIST OF TABLES

Table	Page
3.1 Physical properties of silica.....	13
3.2 Physical of aluminium oxide.....	19
3.3 Physical properties of cobalt.....	22
4.1 Operating condition for gas chromatograph.....	32
5.1 BET surface area, pore volume and pore diameter of spherical silica particles.....	36
5.2 BET Surface areas, pore volume and pore diameter of alumina-spherical silica particle composites.....	40
5.3 BET Surface areas, pore volume and pore diameter of silica and alumina- silica composites-supported cobalt catalysts.....	45
5.4 H ₂ consumption from TRP profiles of silica and alumina-silica composites- supported cobalt catalysts.....	60
5.5 Amount of carbon monoxide adsorbed on silica and alumina-silica composites-supported cobalt catalysts.....	61
5.6 Activity and product selectivity of spherical silica and alumina-silica composites supported cobalt catalysts.....	62
D.1 Conditions use in Shimadzu modal GC-8A and GC-14B.	76

LIST OF FIGURES

Figure	Page
3.1 Reaction mechanisms for CH ₃ OH formation from H ₂ /CO ₂ over Cu-ZnO/SiO ₂ catalyst.....	12
3.2 Desorption of water from alumina surface.....	18
3.3 Lewis acid and Lewis basic sites on alumina.....	18
3.4 Illustration of Al and O atom packing the basal plan.....	20
4.1 Flow diagram of CO ₂ hydrogenation system.....	33
5.1 The SEM images of the spherical silica particles.....	36
5.2 DTA/TG curve of the AISSP composites.....	38
5.3 XRD patterns of spherical silica and alumina-silica composite supports.....	38
5.4 SEM micrograph and EDX mapping of AISSP650 (3:1) composites.....	41
5.5 A typical spectrum of the AISSP650 (3:1) composites from EDX analysis.....	42
5.6 TEM micrographs of the AISSP650 (1:3) composites.....	43
5.7 XRD patterns of silica and alumina-silica composites supported cobalt catalysts.....	44
5.8 SEM micrograph and EDX mapping of CoSSP550 catalyst.....	46
5.9 A typical spectrum of the CoSSP550 catalyst from EDX analysis.....	47
5.10 SEM micrograph and EDX mapping of AlCoSSP650 (1:3) catalyst	48
5.11 SEM micrograph and EDX mapping of AlCoSSP1000 (1:3) catalyst.....	49
5.12 SEM micrograph and EDX mapping of AlCoSSP650 (1:1) catalyst.....	50
5.13 SEM micrograph and EDX mapping of AlCoSSP1000 (1:1) catalyst.....	51
5.14 SEM micrograph and EDX mapping of AlCoSSP650 (3:1) catalyst.....	52
5.15 SEM micrograph and EDX mapping of AlCoSSP1000 (3:1) catalyst.....	53
5.16 A typical spectrum of the CoAISSP650 (3:1) catalyst from EDX analysis.....	54
5.17 TEM micrograph for the silica and alumina-silica composites supported cobalt catalysts.....	58

Figure	Page
5.18 TPR patterns of the silica and alumina-silica composites supported cobalt catalysts.....	59
5.19 Reaction rate at 220°C vs. time on stream of silica and alumina-silica composites supported cobalt catalysts.....	63
D.1 The calibration curve of carbon dioxide	76
D.2 The calibration curve of carbon monoxide	77
D.3 The calibration curve of methane.....	77
D.4 The calibration curve of ethane.....	78
D.5 The calibration curve of propane.....	78
D.6 The chromatograms of catalyst sample from thermal conductivity detector, gas chromatography Shimadzu model 8A (Molecular sieve 5A column).....	79
D.7 The chromatograms of catalyst sample from flame ionization detector, gas chromatography Shimadzu model 14B (VZ10 column).....	79
F.1 The pore size distribution of SSP550 and CoSSP550.....	81
F.2 The pore size distribution of AISSP650 (1:3) and CoAISSP650 (1:3).....	82
F.3 The pore size distribution of AISSP1000 (1:3) and CoAISSP1000 (1:3).....	83
F.4 The pore size distribution of AISSP650 (1:1) and CoAISSP650 (1:1).....	84
F.5 The pore size distribution of AISSP1000 (1:1) and CoAISSP1000 (1:1).....	85
F.6 The pore size distribution of AISSP650 (3:1) and CoAISSP650 (3:1).....	86
F.7 The pore size distribution of AISSP1000 (3:1) and CoAISSP1000 (3:1).....	87